СВОЙСТВА ПОКРЫТИЙ НА ОСНОВЕ NI И Со, НАНЕСЕННЫХ МЕТОДОМ ПЛАЗМЕННОЙ ДЕТОНАЦИИ НА СТАЛЬНЫЕ ПОДЛОЖКИ

Н. В. Прохоренкова, Д. Л. Алонцева

Восточно-Казахстанский государственный технический университет, г. Усть-Каменогорск, Казахстан

В промышленности в настоящее время для нанесения покрытий применяется метод плазменно-детонационного нанесения покрытий из порошковых материалов. Зачастую такие покрытия имеют высокую пористость за счет неполного проплавления частиц порошка при нанесении [1, 2, 3]. Выбор малых фракций порошка ограничен опасностью полного испарения отдельных мелких частиц при нанесении покрытия. На практике используют повторную обработку покрытия плазменной струей или электронным пучком для дополнительного плавления материала покрытия [4,5], улучшения его однородности и адгезии к подложке. Для обоснованного выбора режимов обработки необходимо представление о строении покрытий, нанесенных методом плазменной детонации. В литературе представлено мало данных, особенно данных ПЭМ, о строении таких покрытий.

Данная работа посвящена исследованию структурно-фазового состояния и механических свойств порошковых покрытий на основе Ni и Co, нанесенных методом плазменной детонации на стальные подложки и модифицированных облучением.

В плазменно-детонационной установке «Импульс-6» (Сумский институт модификации поверхности, г. Сумы, Украина) на подложке из углеродистой стали обыкновенного качества Ст 3 (Fe - основа, С - 0.25 вес.%, Мп -0.8 Bec.%, Si - 0.37 Bec.%, P < 0.045 Bec.%) формировались защитные покрытия толщиной от 150 до 300 мкм из порошковых сплавов на основе Ni-Cr: ПГ-19H-01 (Ni-осн.; Cr -8...14 Bec.%; B-2,3 Bec.%; Si-1,2-3,2 Bec.%; Fe-5 вес.%; C-0,5 вес.%) и ПГ-10H-01 (Ni-осн.; Cr -14...20 Bec.%; B-3,3 Bec.%; Si-4,8 Bec.%; Fe до 7 вес.%; С-0,8 вес.%), ГОСТ 28377-89 и Co-Cr: AH-35 (Co-och., Cr -8...32 Bec.%; Ni \leq вес.3%; Si -1,7...2,5 вес.%; Fe \leq 3 вес.%; С -1,3...1,7 Bec%; W- 4...5 Bec.%), FOCT 21448-75 . Для напыления применялся порошок с размером фракций от 56 до 100 мкм. В качестве материала подложки использовались стальные образцы размером 20х30х20 мм³, поверхность которых предварительно подвергалась пескоструйной обработке. Порошковые покрытия осаждались в воздушной среде со следующими параметрами импульсно-плазменной обработки: расстояние от подложки до среза сопла установки 60 мм; скорость перемещения образца 360 мм/мин., расход порошка 21,6 г/мин., частота следования импульсов 4 Гц (частота детонации). Мощность плазменной струи 5 МВт, средний диаметр струи на образце 25 мм, длительность импульса 3 мкс. Эродирующий электрод Мо.

Основными методами исследования были просвечивающая и сканирующая электронная микроскопия, атомно-силовая микроскопия (АСМ), рентгеноструктурный фазовый анализ (РСФА), рентгенофлуоресцентный анализ, оптическая микроскопия (металлография) и механические испытания (микротвёрдость). Испытания на микротвердость проводили на приборе ПМТ 3. Металлографию исследовали на оптическом микроскопе Neophot 21. Осуществлена компьютерная обработка результатов испытаний с использованием стандартных программ статистической обработки и корреляционного анализа. Для изучения структурно-фазового состава образцов применяли рентгеновский дифрактометр XPertPRO. Исследования структуры поверхности и морфологии проводили на растровом микроскопе JSM-6390LV с энергодисперсионным спектральным анализатором INCA ENERGY, а так же на растровом электронном микроскопе Philips SEM 515 с микроанализатором EDAX ECON IV. Для спетрального флуоресцентного анализа использовался спектрометр СРВ-1. Топографию поверхности исследовали на атомно-силовом микроскопе NT-206. Исследования методами просвечивающей электронной микроскопии (ПЭМ) проводили JEM-2100. на Для проведения коррозионных испытаний использовали потенциостат ПИ-50.1.1.

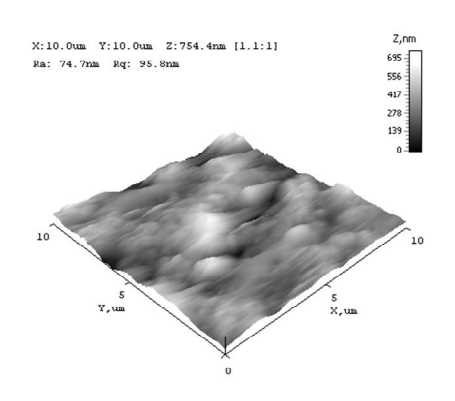
Был проведён топографический анализ

СВОЙСТВА ПОКРЫТИЙ НА ОСНОВЕ NI И СО, НАНЕСЕННЫХ МЕТОДОМ ПЛАЗМЕННОЙ ДЕТОНАЦИИ НА СТАЛЬНЫЕ

серии образцов покрытий после их нанесения методом плазменной детонации, один из снимков, полученных методом АСМ, представлен на рис. 1 Среднее арифметическое отклонение профиля *Ra* для образцов с покрытием ПГ-10H-01 составляет величину 95

нм, для образцов с покрытием ПГ-19H-01 - 122 нм, для покрытия АН-35- 100 нм.

Методами рентгеноструктурного анализа определены типы и параметры решеток фаз покрытий и подложки (таблица 1).



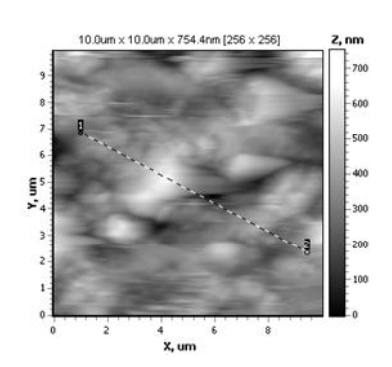


Рисунок 1 - Топографический анализ поверхности покрытия ПГ-10Н-01

Из данных эксперимента (таблица 1) очевидно различие по глубине в структурнофазовом составе покрытий, нанесенных методом плазменной детонации. Для покрытий в целом характерно формирование утвердого раствора с ГЦК-решеткой на основе основной составляющей покрытия: Со или Ni, с выделением интерметаллидных фаз: $Co_{0.8}Cr_{0.2}$ или $CrNi_3$ соответственно. Для по-

крытий, нанесенных методом плазменной детонации, характерно уменьшение параметра решетки твердого раствора по глубине и появление фаз на основе Fe в контактном с подложкой слое (подложка представляет собой α-твердый раствор на основе Fe с ОЦКрешеткой, с малым содержанием оксидов кремния), а также наличие различных оксидов и фаз на основе Cr на поверхности.

Таблица 1 - Результаты рентгеноструктурного фазового анализа

	Фазовый состав, тип и параметры решетки (Å) фаз	
Покрытие	Поверхность покрытия	Обратная сторона покрытия
		со стороны подложки
ПГ-10Н-01	Твердый раствор на основе	Твердый раствор на основе
	Ni - ГЦК , Fm-3m (225), <i>a</i> =3,593,60	Ni - ГЦК,Fm-3m (225), <i>a</i> =3,573,58
	CrNi₃- ГЦК, Fm-3m (225), <i>a</i> =3,5520	CrNi₃- ГЦК, Fm-3m (225), <i>a</i> =3,5520
	FeO Cr ₂ O ₃ – ГЦК , Fd-3m (227),	Fe Ni -Тетрагональная, Р4/mmm (123),
	a =8,3440	a =3,5330;c =3,5820
ПГ-19Н-01	Твердый раствор на основе Ni – ГЦК,	Твердый раствор на основе Ni - ГЦК,
	Fm-3m (225), <i>a</i> =3,563,58	Fm-3m (225), a=3,543,55
	CrNi ₃ - ГЦК, Fm-3m (225), <i>a</i> =3,579	
	Cr ₃ Ni ₅ Si ₂ - Примитивная кубическая,	CrNi ₃ -ГЦК, Fm-3m (225), <i>a</i> =3,579
	P213 (198) , <i>a</i> =6,1180	Fe ₇ Ni₃- ОЦК, Im-3m (229),
	NiO – ГЦК, Fm-3m (225), <i>a</i> =4.2	a =2,8610
AH-35	Твердый раствор на основе Со, ГЦК,	Твердый раствор на основе Со, ГЦК,
	Fm-3m (225), <i>a</i> =3,553,54	Fm-3m (225), <i>a</i> =3,523,53
	Co _{0.8} Cr _{0.2} –Гексагональная, P63/mmc	Co _{0.8} Cr _{0.2} – Гексагональная, P63/mmc
	(194),a = 2,52; c = 4,062	(194), <i>a</i> =2,52; <i>c</i> = 4,062
	Fe Cr ₂ O ₄ - ГЦК, Fm-3m (225), <i>a</i> =8,3780	СоFе- Примитивная кубическая, Рт-
	Ni Cr ₂ O ₄ -ГЦК, Fm-3m (225), <i>a</i> =8,2990	3m (221), <i>a</i> =2,8570
Ст.3	Fe- ОЦК, Im-3m (229), , <i>a</i> =2,8662	
(подложка)	Si O ₂ -Гексагональная, Р3121 (152), <i>a</i> =4,6250; <i>b</i> =4,6250; <i>c</i> =5,2160	

Методами электронной дифракционной микроскопии тонких фольг установлено, что покрытие ПГ-19Н-01 до оплавления состоит из нанозерен различной ориентации и из областей, в которых выделяются пластины другой фазы. Параметр ГЦК-решетки выделяющейся фазы очень близок к параметру матрицы, положение рефлексов фазы Ni₃Cr фактически совпадает с кольцевыми рефлексами Ni-матрицы покрытия. Объемная доля Ni₃Crфазы в материале покрытия, определенная по ПЭМ -изображениям, составляет величину порядка 20 %.

Методами ПЭМ установлено формиро-

вание ультрамелкозернистой (нано) структуры в покрытии АН-35(рисунок 2). Покрытие в основном поликристаллическое, есть участки, где видна структура из равноосных частиц размерами 50 нм. Матрицу покрытия составляет твердый раствор на основе Со с ГЦК-решеткой и с выделяющимися в виде пластин частицами другой фазы. Определенные по микроэлектронограммам межплоскостные расстояния позволяют идентифицировать выделяющуюся в виде пластин фазу как Со_{0.8} Cr_{0.2}. Объемная доля фазы, определенная по ПЭМ-изображениям составляет 15%.

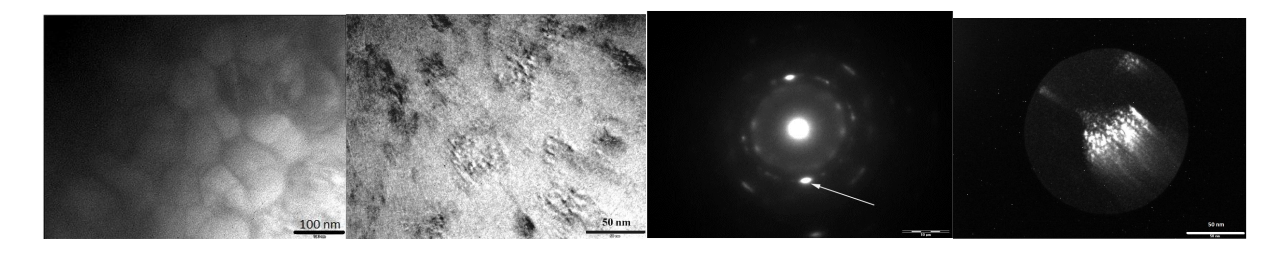


Рисунок 2. ПЭМ-изображения микроструктуры покрытия АН-35 и микроэлектронограмма, стрелкой указан рефлекс, в котором проводили съемку в темном поле.

Результаты рентгеноструктурного анализа согласуются с анализом микротвердости покрытий по глубине, с существованием переходного слоя от покрытия к подложке (диффузная зона). Микротвердость данного

слоя повышена по сравнению с подложкой, его ширина составляет примерно 50 мкм. Результаты измерения микротвердости на поперечных шлифах покрытий приведены на рисунке 3.

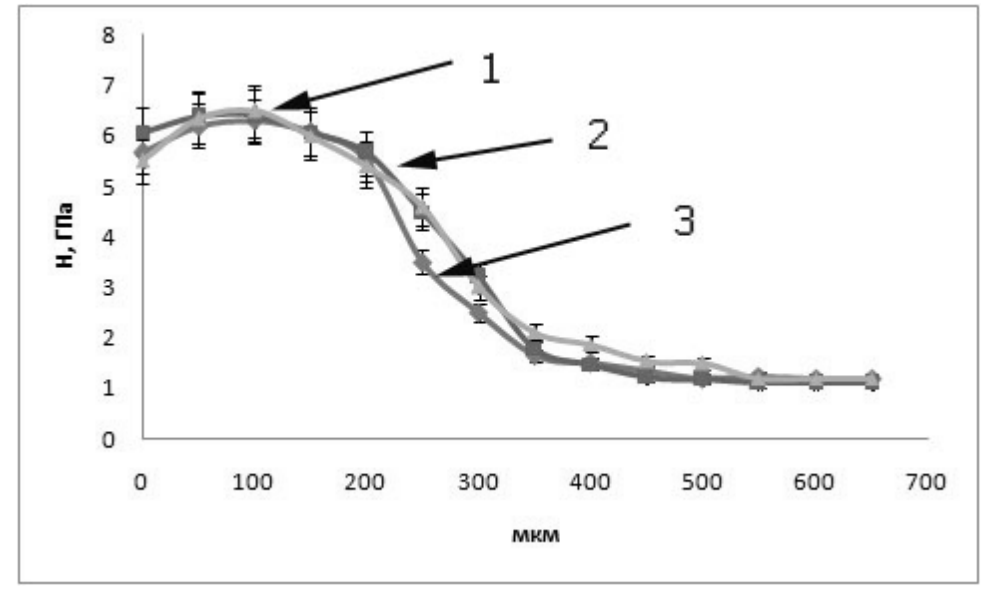


Рисунок 3 - Зависимость микротвердости покрытий от расстояния до поверхности (1 — AH-35, 2- $\Pi\Gamma$ -10H-01, 3- $\Pi\Gamma$ -19H-01)

СВОЙСТВА ПОКРЫТИЙ НА ОСНОВЕ NI И СО, НАНЕСЕННЫХ МЕТОДОМ ПЛАЗМЕННОЙ ДЕТОНАЦИИ НА СТАЛЬНЫЕ

Был проведён анализ размеров структурных составляющих покрытий размеров зерен подожки и покрытия, эти измерения сопоставлены с данными анализа микротвердости по глубине покрытия. Анализ хода кривых Холла-Петча указывает, что есть определенная величина зерна $d_{\rm kp}$ <1 мкм при которой происходит изменение коэффициента k.

После облучения шероховатость покрытий резко уменьшается, фазовый состав покрытий меняется. Среднее арифметическое отклонение профиля *Ra* оплавленных образцов ПГ-10H-01составляет 18,3 нм, для серии образцов с покрытием ПГ-19H-01-31нм, для AH-35 *Ra*=53нм.

В целом оплавление покрытий приводит к увеличению в них объемной доли твердого раствора и интерметаллидных фаз. Все покрытия на основе Ni-Cr содержат Cr Ni₃-фазу с ГЦК - решеткой до и после облучения это устойчивая к воздействию разных типов облучения фаза. Средний размер зерна покрытий после облучения составляет величину порядка 1 мкм.

По данным рентгеновского флуоресцентного анализа обнаружено появление в никелевой матрице облученных плазмой в импульсном режиме покрытий ПГ-19H-01 и АН-35 железа из подложки. Массовая доля Fe на поверхности после нанесения напыления может возрастать в отдельных случаях до 17 мас.%.

Таким образом выявлены общие закономерности структурно-фазовых превращений в модифицированных покрытиях: увеличение объемной доли упрочняющих дисперсных интерметаллидных фаз, гомогенизация микроструктуры покрытия (формирование мелкозернистой однородной микроструктуры, увеличение объемной доли твердого раствора). Обнаружено увеличение переходного от покрытия к подложке упрочненного слоя до толщины порядка 150 мкм в модифицированных облучением покрытиях (увеличение диффузной зоны). Для покрытий, облученных импульсной плазменной струей обнаружено явление проникновения железа из подложки в покрытие и дополнительное легирование покрытий Мо с эродирующего электрода, для покрытий после электронного непрерывного облучения такие явления не наблюдается.

На основе анализа результатов исследования рекомендованы конкретные режимы обработки данных покрытий, приводящие к формированию в них структур с микронными зернами, обладающих хорошими механическими свойствами при эксплуатации в диапазоне комнатных температур.

СПИСОК ЛИТЕРАТУРЫ

- 1. Кадыржанов К.К., Комаров Ф.Ф., Погребняк А.Д., Русаков В.С., Туркебаев Т.Э. Ионно-лучевая и ионно-плазменная модификация материалов.- Москва: МГУ, 2005.-639с
- 2. Погребняк А.Д., Береснев В.М., Азаренков Н.А. Структура и свойства защитных покрытий и модифицированных материалов. Харьков: ХНУ, 2007. 560 с.
- 3. Погребняк, А.Д., Кылышканов М.К., Алонцева Д.Л. Структура и свойства поверхностей материалов и композитных покрытий до и после воздействия концентрированными потоками энергии. Усть-Каменогорск: ВКГТУ, 2008. 296 с.
- 4. Pogrebnjak A.D., Alontseva D.L. et al. Vacuum 81 (2007), p. 1243-1251
- 5. Alontseva D. Przegląd Elektrotechniczny (Electrical Review), R.86, NR 7, 2010., p. 42-44